

熊本大学工学部 正員 ○三池 亮 次  
同 上 正員 小林 一郎

1. はじめに 現在行なわれている有限変位解析の多くは、ひずみは微小であるが、回転による変位は有限であるような、幾何学的非線形有限変位解析に基づいている。そのひずみエントロピーは、GreenひずみとKirchhoff擬応力に対となるものである。Kirchhoff擬応力は、それ自身の中に変位成分を含んでおいてその取り扱いか面倒である。Kirchhoff擬応力ではなく、物理的応力を用いるときは、それが2階テンソルであることからくる難点もあるが、物理的意義は明確となる。

筆者は、さらにせん断応力が無視される2次元骨組構造において、外力が有限変位に対してなす仮定力学は、物理的直応力が通常のひずみに対してなす以外に、一種の見かけのひずみ(1-cosθ)に対してなす仮定力学の複分に等しいことを指摘した<sup>2)</sup>。ここでは、せん断ひずみも無視し得る場合の仮定力学原理による基礎式を誘導する。

2. 有限ひずみ仮定力学の原理 さらに発看のとおり、物体内部の任意点に物体力 $f$ が、境界において表面力 $p$ が作用して、変形中間状態の位置ベクトル $x'$ から、有限の変位 $\Delta u$ を生じてつり合い状態にあるものとする。外力 $f$ と $p$ が、有限変位 $\Delta u$ に対してなす仮定力学の積分 $\Delta W$ は、

$$\begin{aligned} \Delta W &= \iint_A p \cdot \Delta u \, dA + \iiint_V f \cdot \Delta u \, dV = \iint_{A'} p^* \cdot \Delta u \, dA' + \iiint_{V'} f^* \cdot \Delta u \, dV' \\ &= \iiint_{V'} \text{trace} \left\{ T_k^T \left( \frac{\partial x}{\partial x'} \right)^T \frac{\partial \Delta u}{\partial x'} \right\} dV' = \iiint_{V'} \text{trace} (T_k^T \Delta E_k) dV' = \Delta U' \end{aligned} \quad (1)$$

ここに、 $T_k$ はKirchhoff擬応力であり、また、面積要素 $dA$ と体積要素 $dV$ は変形後におけるもので、 $dA'$ と $dV'$ は変形の中間状態におけるものである。また $p^* = p \delta A / \delta A'$ 、 $f^* = f \delta V / \delta V'$ 。

$$\Delta E_k = \Delta E_g + \frac{1}{2} \left( \frac{\partial \Delta u}{\partial x'} \right)^T \frac{\partial \Delta u}{\partial x'} \quad (2)$$

は、Greenひずみテンソル $\Delta E_g$ と回転を示すひずみ $\gamma = 1/2 \Delta E_\theta = (\partial \Delta u / \partial x')^T \partial \Delta u / \partial x' / 2$ の和<sup>1)</sup>。  $\Delta E_g$ は

$$\Delta E_g = \frac{1}{2} \left\{ \frac{\partial \Delta u}{\partial x'} + \left( \frac{\partial \Delta u}{\partial x'} \right)^T + \left( \frac{\partial \Delta u}{\partial x'} \right)^T \frac{\partial \Delta u}{\partial x'} \right\} \quad (3)$$

であり、Kirchhoff擬応力は、

$$T_k^T = \begin{bmatrix} \frac{\delta A_1}{\delta A_1} & 0 & 0 \\ \frac{\delta A_2}{\delta A_1} & \frac{\delta A_2}{\delta A_2} & 0 \\ 0 & \frac{\delta A_3}{\delta A_1} & \frac{\delta A_3}{\delta A_3} \end{bmatrix} \Sigma^T \begin{bmatrix} \frac{1}{\sqrt{g_{11}}} & 0 \\ 0 & \frac{1}{\sqrt{g_{22}}} \\ 0 & 0 & \frac{1}{\sqrt{g_{33}}} \end{bmatrix}, \quad \Sigma^T = \begin{bmatrix} \sigma_{11} & \sigma_{12} & \sigma_{13} \\ \sigma_{21} & \sigma_{22} & \sigma_{23} \\ \sigma_{31} & \sigma_{32} & \sigma_{33} \end{bmatrix} \quad (4)$$

である。 $\Sigma$ は、変形後の物体に作用する物理的応力マトリックス、 $g_{ii}$ は共変計量テンソル $G_0 = (\partial x / \partial x')^T \partial x / \partial x'$ の対角要素である。

2次元骨組構造部材<sup>2)</sup>、式(4)の第2行の $\sigma_{22} = 0$ であり、かつ、せん断応力 $\sigma_{12} = \sigma_{21}$ が無視される場合について、さらに発看のとおりである。ここでは、 $\sigma_{22}$ も、せん断応力 $\sigma_{12}$ と $\sigma_{21}$ も有限である場合、式(1)の $\Delta U'$ を求める。式(1)の被積分項に現れるJacobianマトリックス

$$\frac{\partial x}{\partial x'} = \left[ \frac{\partial x}{\partial x'_1} \quad \frac{\partial x}{\partial x'_2} \quad \frac{\partial x}{\partial x'_3} \right] \equiv [e_1 \quad e_2 \quad e_3] \quad (5)$$

上式の $e_i$ は変基底ベクトルである。変形の中間状態において定められた、物体内部の任意点の基準直交座

座標の、変形後の方向余弦  $l_i = e_i / \sqrt{g_{ii}}$  であるから、式(1)より

$$\Delta U = \iiint_V \text{trace} \left[ \begin{matrix} \sigma_{11} \frac{\delta A_1}{\delta A_1'} & \sigma_{12} \frac{\delta A_1}{\delta A_1'} \\ \sigma_{21} \frac{\delta A_2}{\delta A_2'} & \sigma_{22} \frac{\delta A_2}{\delta A_2'} \end{matrix} \begin{matrix} l_1 \cdot \frac{\partial \Delta u}{\partial x_1'} & l_1 \cdot \frac{\partial \Delta u}{\partial x_2'} \\ l_2 \cdot \frac{\partial \Delta u}{\partial x_1'} & l_2 \cdot \frac{\partial \Delta u}{\partial x_2'} \end{matrix} \right] dV' \quad (6)$$

被積分項、

$$\Delta U = \sigma_{11} \frac{\delta A_1}{\delta A_1'} l_1 \cdot \frac{\partial \Delta u}{\partial x_1'} + \sigma_{22} \frac{\delta A_2}{\delta A_2'} l_2 \cdot \frac{\partial \Delta u}{\partial x_2'} + \sigma_{12} \frac{\delta A_1}{\delta A_1'} l_2 \cdot \frac{\partial \Delta u}{\partial x_1'} + \sigma_{21} \frac{\delta A_2}{\delta A_2'} l_1 \cdot \frac{\partial \Delta u}{\partial x_2'} \quad (6')$$

図・1 におい、 $i_1, i_2$  は基本単位ベクトル。変形の中  
間状態において埋め込まれた基準座標の、変形後の方向余弦  
あるいは単位ベクトルを  $l_1, l_2$  とする。変形の中間状態  
における線素、 $\delta x'_i$  の相対変位は、その伸びを  $\delta \Delta u_{ei}$  とすると

$$\delta \Delta u_1 = \frac{\partial \Delta u}{\partial x_1'} \delta x'_1 = l_1 \cdot (\delta x'_1 + \delta \Delta u_{e1}) - i_1 \cdot \delta x'_1 \quad (7)$$

したがって、 $\cos \Delta \theta_1 = l_1 \cdot i_1$  である

$$l_1 \cdot \frac{\partial \Delta u}{\partial x_1'} = \frac{\partial \Delta u_{e1}}{\partial x_1'} + (1 - \cos \Delta \theta_1) \cdot \sigma_{11} \quad , \quad l_2 \cdot \frac{\partial \Delta u}{\partial x_2'} = \frac{\partial \Delta u_{e2}}{\partial x_2'} + (1 - \cos \Delta \theta_2) \quad \text{と、これに作用する物理的応力 } \sigma_{ij} \quad (8)$$

また、

$$l_2 \cdot \frac{\partial \Delta u}{\partial x_1'} = l_2 \cdot \left\{ l_1 \left( 1 + \frac{\partial \Delta u_{e1}}{\partial x_1'} \right) - i_1 \right\} = \cos \delta \frac{\partial \Delta u_{e1}}{\partial x_1'} + \cos \delta - \cos(\delta + \Delta \theta_1) \quad (9)$$

いから、 $\delta = \pi/2 - (\Delta \theta_1 + \Delta \theta_2) \equiv \pi/2 - \Delta \delta$  であるから、

$$\cos \delta - \cos(\delta + \Delta \theta_1) = \sin \Delta \theta_1 \cos \Delta \theta_2 - \sin \Delta \theta_2 (1 - \cos \Delta \theta_1) = \sin(\Delta \theta_1 + \Delta \theta_2) - \sin \Delta \theta_2 \quad (10)$$

したがって、式(6)における

$$\sigma_{12} \frac{\delta A_1}{\delta A_1'} l_2 \cdot \frac{\partial \Delta u}{\partial x_1'} = \sigma_{12} \frac{\delta A_1}{\delta A_1'} \left\{ \sin \Delta \delta - \sin \Delta \theta_2 + \sin \Delta \delta \frac{\partial \Delta u_{e1}}{\partial x_1'} \right\} \quad (11)$$

同様に、 $(\sigma_{21} \delta A_2 / \delta A_2') l_1 \cdot \partial \Delta u / \partial x_2'$  についても、式(6)の被積分項である式(6)'は

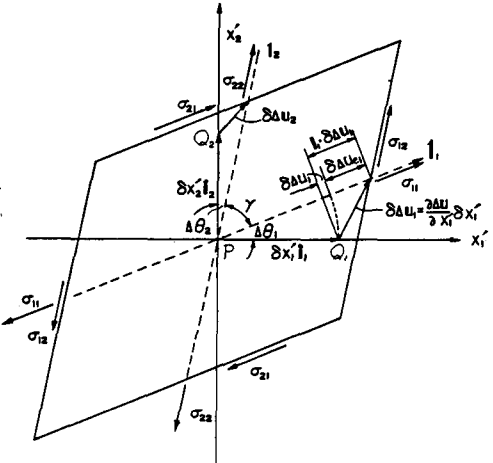
$$\Delta U = \sigma_{11} \frac{\delta A_1}{\delta A_1'} \left\{ \frac{\partial \Delta u_{e1}}{\partial x_1'} + (1 - \cos \Delta \theta_1) \right\} + \sigma_{22} \frac{\delta A_2}{\delta A_2'} \left\{ \frac{\partial \Delta u_{e2}}{\partial x_2'} + (1 - \cos \Delta \theta_2) \right\} + \sigma_{12} \frac{\delta A_1}{\delta A_1'} \left\{ \sin \Delta \delta - \sin \Delta \theta_2 + \sin \Delta \delta \frac{\partial \Delta u_{e1}}{\partial x_1'} \right\} + \sigma_{21} \frac{\delta A_2}{\delta A_2'} \left\{ \sin \Delta \delta - \sin \Delta \theta_1 + \sin \Delta \delta \frac{\partial \Delta u_{e2}}{\partial x_2'} \right\} \quad (12)$$

3. 近似解。式(4)で定義される物理的応力マトリックスは、2階テンソルである。せん断応力  $\sigma_{12}$  と  $\sigma_{21}$  は、必ずしも等しくない。しかし、簡単な例題として、せん断ひずみは比較的微小であり、変形後も座標は直交性を保つと近似し、 $\sin \Delta \delta \approx \Delta \delta$  は通常、微小せん断ひずみと見做し、また  $\sigma_{12} \delta A_1 / \delta A_1' \approx \sigma_{21} \delta A_2 / \delta A_2'$  とし得るとき、

$$\Delta U = \sigma_{11} \frac{\delta A_1}{\delta A_1'} \left\{ \frac{\partial \Delta u_{e1}}{\partial x_1'} + (1 - \cos \Delta \theta_1) \right\} + \sigma_{22} \frac{\delta A_2}{\delta A_2'} \left\{ \frac{\partial \Delta u_{e2}}{\partial x_2'} + (1 - \cos \Delta \theta_2) \right\} + \sigma_{12} \frac{\delta A_1}{\delta A_1'} \cdot \Delta \delta \left( 1 + \frac{\partial \Delta u_{e1}}{\partial x_1'} + \frac{\partial \Delta u_{e2}}{\partial x_2'} \right) \quad (13)$$

すなわち、せん断応力に対して、直ひずみ  $\partial \Delta u_{e1} / \partial x_1' + \partial \Delta u_{e2} / \partial x_2'$  の補正が必要となる。上式を用い、2次元骨組構造の軸力  $N$  と  $N$ 、曲げモーメント  $M$  と  $M$ 、せん断力  $Q$  と  $Q$  の各変位成分は、 $\partial \Delta u_{e2} / \partial x_2' \approx 0$  とし、

$$\Delta U = \int_0^L \left[ \Delta \epsilon_m + (1 - \cos \Delta \theta_1) \right] (N + \Delta N) + \Delta \phi' (M + \Delta M) + \Delta \delta (1 + \Delta \epsilon_m) (Q + \Delta Q) \Big] ds, \quad \Delta \epsilon_m = \frac{\partial \Delta u_{e1}}{\partial x_1'} \quad (14)$$



図・1 変形の中間状態における直方体の変形

参考文献 1) 三池亮次: "有限変形における増分形工率と基礎理論" 工学論文報告集, 2) 三池小林, 及田: "有限変位仮想仕事の原理による骨組構造解析"